

Nef-Cee

$A^B_5$        $A = Y, La, Ce, Pr, Nd, Eu, Dy$   
 $B = Co, Ni, Cr.$  (epitaxial emp-pa)

Wenckebach J.H., Weller S.,  
1959

Acta crystallogr.,

1959, 12, N9, 662 - 665.

PX, 1960, 16668 MI

Соединение в сплавах — 1963  
P3.7-T.

IT = Mg, Zn, Al, Fe, Cu)  
1 кр. суп-ра)

Тягомцевский Е. У., Кричевский  
Н. У., Чекашин С. С., Заречников  
О. С., Заслуцкий Н. Н., Быковичевский  
В. С., Редкошинский Геннадий;  
М., АН СССР, 1963, 67-70

РХ. 1966 25263

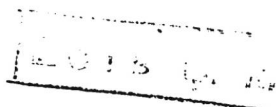
№ 606 ф-к

Kluz / JK - physognathus  
specieis 1963  
(specieis. cusp-pa) VIII 4365

Storm A. R., Benson T. E.

Acta crystallogr.

1963, 16, n7, 401-403



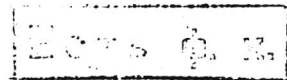
III

PX, 1964, 165234

elX (el = P. 92, spruce) Ce 21 Pen, 1965  
X = Cei, Nig, Zn, Cd, Hg in Fe,  
(spruce, esp-pa) VIII 4235

Fandelli A; Palenzona A;

y. Less - Common willows,  
1965, ♀, st, 1-6



elx

PX, 1966 85348

$\text{HfB}_2$  / H-Sc, Y, P3M; B-Cu, Ag, Au) 1967  
(кристалл. струк-ра) VII4740

Dwight A.E., Downey J. W.;  
Conner R. A., Jr.,  
Acta crystallogr.,  
1967, 22, N<sup>o</sup>5, 445.

P.M., 1967, 102131 clue

$RX_2$  |  $P_1 = P_3$   $\perp$ ;  $X = L_1, \text{fig}, \text{J}_1, \text{K}_1, \text{Col.}$   $\text{y}_{\text{g}}$ ,  
Repres.  $\text{G}_1, \text{J}_1, \text{F}_1$ ) 1968  
VIII 4231

Pandelli A, Palenzona A.,

Y - Less - Common. Metally,

1958, 15, at 3, 273-284

E.C.T. S. H.

Rec. 1963, 122154

( $\epsilon X$ ,  $\epsilon X_2^3$ ,  $\mu_2 X_3$ ,  $\Delta t$ ,  $\Delta H$ ,  $\Delta S$ ) 1969

$\Pr X_2^3$ ,  $N\epsilon X$ ,  $N\mu X_2^3$ ,  $\delta X$ ,  $\delta X_2^3$ ,  $G\mu X$ ,  $G\Pr X_2^3$  8 VIII 2800

( $X = \frac{\text{некоторое определение}}{c \in N; (c \in C^{(00)})_3}$ )

Маненков Р.Н., Пономарев Н.В. 20

Чеб. Воды. Уезд. Земл. Землед. Книжка и Книж.  
Технология 1969, 12(4), 409-11.

Причинение земельохозяйственным болезням  
растений вреда сопровождается широким  
использованием различных методов борьбы -  
химических и физических.

Дж-сп

CA, 1969, 21, N8, 33987V

8

VIII 4831

1970

$\text{ThCu}_6$ ,  $\text{PrCu}_6$ ,  $\text{NdCu}_6$ ,  $\text{SmCu}_6$ ,  $\text{GdCu}_6$ . Криоген. сг.-фа

Buschow K.H.J., Goot A.S. van der.

*J. Less-Common Metals*, 1970, 20,  
"n 4, 309-313 (авт.).

Криогеническая структура  
некоторых соединений меди  
типа  $\text{R Cu}_6$ .

○ ~~Not M~~ 12

SM, 1970, 10 N 51

NdCu<sub>2</sub> Lommelk 8397 / 1979

Hashimoto Y. et al.

Mazumdar  
Hoepfner;  
Tz

J. Phys. Soc. Japon.  
1979, 47(1), 73-76

NdCuO<sub>4</sub>

1979

Макарових Н.Г.; УЗР.

( $\overline{R}_2$ ) Хл. неорганический,  
1979, 24(6), 1478-85

(ин. La<sub>2</sub>CuO<sub>4</sub>, ?)

Nd<sub>2</sub>CuO<sub>4</sub>

1980

13 В9. Синтез и свойства Nd<sub>2</sub>CuO<sub>4</sub>. Коновалова И. А., Лазарев В. Ф., Борозова Е. Б., Шаплыгин И. С. «Ж. неорган. химии», 1980, 25, № 4, 910—913

Выпариванием смеси нитратов Cu(2+) и Nd с последующим отжигом при 960±10° получены черные поликристаллы Nd<sub>2</sub>CuO<sub>4</sub> (I). I имеет тетрагональную структуру типа K<sub>2</sub>NiF<sub>4</sub> (фр. гр. I 4/mmm),  $a = 3,948$ ,  $c = 12,15$  Å, плотностью 7,22 г/см<sup>3</sup>. В ИК-спектре I наблюдаются хорошо разрешенные интенсивные полосы поглощения с максимумами при 505, 350 и 315 см<sup>-1</sup> и слабые полосы с частотами 278, 250, 225, 215 см<sup>-1</sup>. Изучены электрические свойства I.

Резюме

Х 1980 N 13

$\text{NdBr}_3\text{-CuBr}$

1981

Molodkin A.K., et al.

газ.  
гварп.

Zh. Neorg. Khim. 1981,  
26 (11), 3089-3093.

$\text{CuNdS}_2$

1982

Андреев О. В., Таш-  
гов Р. С. и др.

Физ.-хим. свойства и  
теплопроводность  
и аномалии. Плющев,  
1982, 155-160.

(см.  $\text{CuLaS}_2$ ; 1)

NdCu

NdCu<sub>n</sub>

n=2,6

(Tm)

1983

199: 77646s Phase equilibria in the neodymium-copper system. Carnasciali, M. M.; Costa, G. A.; Franceschi, E. A. (Ist. Chim. Fis., Univ. Genova, Genoa, Italy). *J. Less-Common Met.* 1983, 92(1), 97-103 (Eng). The Nd-Cu phase diagram was established by DTA, metallog., and x-ray anal. A microprobe anal. was performed, and the microhardness and resistivity of the intermediate phases were detd. The following phases (m.p. in curves) were obsd.: NdCu (670°), NdCu<sub>2</sub> (840°), Nd<sub>2</sub>Cu<sub>7</sub> (825°), NdCu<sub>~4</sub> (745°), NdCu<sub>5</sub> (870°) and NdCu<sub>6</sub> (920°). Only NdCu<sub>2</sub> and NdCu<sub>6</sub> melt congruently. The compd. Nd<sub>2</sub>Cu<sub>7</sub> has a limited stability range. Eutectics occur at 30 at.% Cu (520°), 73 at.% Cu (770°) and ~90 at.% Cu (865°). The presence of a thermal anomaly around the 1:1 compn. is caused by a 1st order transition. Crystal structure data are given for NdCu<sub>4</sub> and Nd<sub>2</sub>Cu<sub>7</sub>.

c.A.1983, 99, n10

*NdCu<sub>2</sub>*

*1983*

*NdCu<sub>6</sub>*

*(Tm)*

100: 74800r Phase diagram of the binary neodymium-copper alloy system. Zheng, Jianxuan; Nong, Liangqin (Dep. Phys., Guangxi Univ., Peop. Rep. China). *Wuli Xuebao* 1983, 32(11), 1449-54 (Ch). The binary phase diagram of the Nd-Cu system was detd. by x-ray powder diffraction, DTA, and metallog. methods. Five intermetallic compds. (NdCu, NdCu<sub>2</sub>, NdCu<sub>4</sub>, NdCu<sub>5</sub>, NdCu<sub>6</sub>) are formed. The intermetallic compds. NdCu<sub>2</sub> and NdCu<sub>6</sub> congruently m. 830 and 962° resp., and the intermetallic compds. NdCu, NdCu<sub>4</sub>, and NdCu<sub>5</sub> are formed by peritectic reactions at 602, 853, and 916°, resp. Three eutectic reactions occur at Cu 33, 74, and 91 at.% and 478, 760, and 874°, resp. Neither Nd in Cu nor Cu in Nd shows any detectable solid soly. The solid soly. between intermetallic compds. in undetectable.

C.A. 1984, 100, N10

$\text{NdCuO}_2$  1986

Karakaya I., Thompson W. T.

$\Delta_f G$ ; Can. Metall. Q. 1986,  
25(4), 307-17.

(c.c.  $\text{MgCl}_4^{2-}$ , ?)

$\text{Nd}_2\text{CuO}_4(\text{k})$  Зубов А.Ю.; Петров  
 $\text{Nd}_2\text{CuO}_2(\text{k})$  А.Н. и гр., 1986

XI Всесоюзная конференция  
по калориметрии в Испан-  
ской теплоэнергетике;

Новосибирск, 1986.

Тезисы докладов, ч. I, 3-4,  
110-111.

Aff:

$Nd_2CuO_4$

$Nd_{2-x}Ce_x$

(DM 26669)

1987

Петров А.Н., Жеб A.H.,  
Черепанов B.A. и др.,

Из. АН СССР. Несправ.  
нанр., 1987, 23, №,  
1044- 1046.

(ав.  $Pr_2CuO_4$ ; I)

Nd-Li-O (OM 31631) 1988

Petrov A.N., Cherepanov

V.A., et al.,

J. Solid State Chem.

1988, 77, N1, 1-14.

Физоб.  
работ.

$Nd_2Cu_3$  (DM. 30671)

1988

$Nd_2Cu_3$  Гемров А.Н., Зубов А.Ю. 11 гр.,

$\Delta f_f$ . З. С. Голуб. Химии, 1988,  
62, N 11, 3092-94.

*NdCu<sub>6</sub>*

*ОМ 31820*

*1988*

Д 15 Б3174. Последовательные фазовые переходы в метамагнетике  $\text{NdCu}_6$ . Successive phase transitions in metamagnetic  $\text{NdCu}_6$  / Takayanagi S., Shibata M., Wada N., Watanabe T., Onuki Y., Komatsubara T. // J. Magn. and Magn. Mater.— 1988.— 76—77.— С. 163—164.— Англ.

В диапазоне т-р 2—6,25 К в магн. полях до 5 Тл методом ДСК высокого разрешения исследована магн. фазовая диаграмма монокристалла  $\text{NdCu}_6$ . Обнаружено три резких пика уд. теплоемкости при 5,58, 5,74 и 5,83 К и небольшой пик при 6,10 К. При приложении магн. поля вдоль оси *b* кристалла высокот-рный пик сдвигается к низким т-рам, а три низкот-рных пика сдвигаются в сторону высоких т-р с увеличением магн. поля. При напряженности поля 1,5 Тл все четыре пика сливаются. В обл. полей 1,5—3,0 Тл этот объединенный пик наблюдается только вдоль границы paramagn. фазы. Выше 3,0 Тл появляется другой резкий пик уд. теплоемкости, соотв., вероятно, переходу в фазу с перевернутым спином.

Б. А. Ступников

*(T<sub>E2</sub>)*

*X. 1989, N 15*

Cu-Nd

1988

109: 136127y Calorimetric study of thermodynamic properties of molten alloys of copper with praseodymium and neodymium. Turehanin, M. A.; Nikolaenko, I. V.; Batalin, G. I. (Kiev. Gos. Univ., Kiev, USSR). *Rasplavy* 1988, 2(2), 118-19 (Russ.). The heats of alloying of Cu-Nd and Cu-Pr melts were detd. at 1523 K. The data were correlated in terms of concn. of Pr or Nd. Partial and integral enthalpies of mixing are tabulated.

(sketch)

④ 12



Cu-Pr

C.A. 1988, 109, N 16.

$\text{CuNdS}_2$

1989

Andreev O.V., Vasil'eva

I.G.

( $T_m$ )

IZV. Sib. Otd. Akad. Nauk  
SSSR, ser. Khim. Nauk 1989,  
(2), 61-6.

(c.u.  $\text{CuCeS}_2$ ; I)

Nd<sub>2</sub>Cu<sub>7</sub><sub>4</sub>      L011.32876      1989

Bhanaty S., Lee B.W.,  
Markert J.T., et al.,

Physica C 1989, 160, N2,  
217 - 222.

$Nd_2Cu_3$

(On. 31996)

1989

Mundley M.F., Thompson J.D., et al.,

G; Physica C 1989, 158,  
102-108.

$\text{Nd}\text{Cr}_6$

1989

Vrtis M. L.

Twelfth European Crystallographic Meeting, Moscow, Aug. 20-29, 1989;  
Collect. Abstr. Vol. 1/USSR Acad. Sci. Moscow, 1989. C.  
246.

(crys.  $\text{La}\text{Cr}_6$ ; I)

*Nd<sub>2</sub>CuO<sub>4</sub>*

*1990*

5G72. Влияние особенностей кристаллической структуры на магнитные свойства Nd<sub>2</sub>CuO<sub>4</sub>/Блинкин В. А., Витебский И. М., Колотий О. Л., Лавриненко Н. М., Семиноженко В. П., Соболев В. Л./Препр./ВНИИ монокристаллов.—1990.—№ 15.—С. 1—24.—Рус.; рез. англ.; GCAG, GIFKB, GOL, GOFGHY

Повышенный интерес к Nd<sub>2</sub>CuO<sub>4</sub> связан прежде всего с тем, что это соединение является базовым для нового класса ВТСII материалов. В чистом Nd<sub>2</sub>CuO<sub>4</sub> наблюдается целый каскад фазовых превращений, включающий структурный и ряд магн. фазовых переходов. В рамках симметрийного подхода исследована связь особенностей кристаллич. структуры и магн. упорядочения в этом соединении. Определены норм. моды однородных колебаний спиновой системы. Проанализирована симметрия спин-решеточной связи. Предсказано существование линейного магнитоэлектрич. эффекта обменного происхождения.

Резюме

*оф. 1991, № 5(СВ)*

1990

6 Б3080. Изучение системы Nd—Cu / Gu Hanzhen,  
Song Jiaqing // Бэйцзин дасюэ сюэбао=Acta Sci.  
Natur. Univ. Pekinensis.— 1990.— 26, № 2.— С. 136—  
140.— Кит.; рез. англ.

С помощью ДТА и РФА исследовано взаимодействие в системе Nd—Cu, построена фазовая диаграмма частной системы  $\text{NdCu}_2$ —Cu. Образцы для исследования получены переплавлением металлов в индукц. печи в среде газ. аргона. Соединения  $\text{Nd}_2\text{Cu}_7$  и  $\text{NdCu}_4$  получены методами порошковой металлургии. Все образцы гомогенизированы термич. обработкой. Найдено, что в системе образуются 5 интерметаллич. соединений (в интервале от Cu до  $\text{NdCu}_2$ ).  $\text{NdCu}_2$  и  $\text{NdCu}_6$  плавятся конгруэнтно при 830 и 930° С соотв.,  $\text{Nd}_2\text{Cu}_7$ ,  $\text{NdCu}_4$  и  $\text{NdCu}$  плавятся инконгруэнтно при 840, 870 и 882° С соотв. Эвтектика, образуемая  $\text{NdCu}_2$  и  $\text{Nd}_2\text{Cu}_7$ , отвечает 790° С и ~71 ат.% Cu.  $\text{NdCu}_4$  и  $\text{NdCu}_6$  характеризуются гексагон. структурой,  $\text{NdCu}_2$  и  $\text{NdCu}_5$  — ромбич. Для всех соединений (кроме  $\text{Nd}_2\text{Cu}_7$ ) приведены параметры элементарной ячейки крист. решетки.

Б. Г. Коршунов

Tm

X. 1991, N 6

*Nd<sub>2</sub>CuO<sub>4</sub>*

1990

(Cp)

113: 107244m The effect of copper/zinc substitution in neodymium cerium copper oxide ( $Nd_{1-x}Ce_{1+x}CuO_4$ ) on superconductivity studies by magnetic, transport and specific heat measurements and Raman spectroscopy. Hilscher, G.; Poellinger, S.; Forsthuber, M.; Pillmayr, N.; Remschnig, K.; Rogl, P.; Reissner, M.; Steiner, W.; Knoll, P. (Inst. Experimentalphys., TU Wien, A-1040 Vienna, Austria). *Physica C (Amsterdam)* 1990, 167(5-6), 472-82 (Eng). The structural chem., DC and AC magnetic, magnetoresistance, sp. heat and Raman measurements of Cu/Zn substituted  $Nd_{1.85}Ce_{0.15}CuO_4$  are reported. Single phase solid solns. of  $Nd_{1.85}Ce_{0.15}Cu_{1-x}Zn_xO_4$  were obsd. for  $x \leq 0.05$  with the  $Nd_2CuO_4$ -type and with a random distribution of (Nd, Ce) and (Cu, Zn) in their resp. lattice sites. Cu/Zn substitution suppresses supercond. with an initial rate of -4.5 K/mol% Zn. With increasing  $x$ , the crit. fields and crit. current densities are strongly reduced whereas the no. of effective pinning centers increases. The normal state electronic sp. heat coeff. is estd. to be 11 mJ/(mol K<sup>2</sup>). Anomalies of the resistivity and magnetoresistance are discussed in terms of a two-dimensional superconducting network in the percolation regime. Raman spectroscopy indicates that with increasing Zn content the oxygen at the 4d site is slightly displaced from the original position in the x-y plane.

C.A. 1990, 113, N12

Nd<sub>2</sub>Cu<sub>3</sub>Y (OM 84036) 1990

Oseroff S.B., Rao D., et al.,

URAKUMA. Phys. Rev. B 1990, 41,  
CB-Ba NY, 1934-1948.

Complex magnetic properties of  
the rare-earth copper

oxides,  $R_2CuO_4$ , observed via measurements of the dc and ac magnetization, EPR, microwave magnetoabsorption, and specific heat.

NdCu<sub>6</sub>

On 34867

1990

113: 203300b AC susceptibility and specific heat studies on the successive antiferromagnetic orderings in neodymium copper (NdCu<sub>6</sub>). Takayanagi, Shigeru; Furukawa, Emiko; Wada, Nobuo; Onuk, Yoshichika; Komatsubara, Takemi (Phys. Dep., Hokkaido Univ. Educ., Sapporo, Japan 092). *Physica B* (Amsterdam) 1990, 163(1-3), 574-6 (Eng). The magnetic behavior of NdCu<sub>6</sub> displays successive magnetic phase transitions below the Neel temp.  $T_N = 6.1$  K. The successive antiferromagnetic order was studied by the synchronous measurements of a.c. magnetic susceptibility and sp. heat in magnetic fields (up to 5 T) applied to the 3 crystallog. axes. The magnetic susceptibility data along the x-axis show 4 steep jumps at 6.10, 5.82, 5.74 and 5.58 K at zero magnetic field. These are in agreement with the 4 successive peaks of the sp. heat. The thermal hysteresis of the susceptibilities indicates that 3 of the transitions are of the 1st-order except for the anomaly at 6.10 K. Magnetic phase diagrams were derived.

(i)



C.A. 1990, 113, N 22

$Nd_2CuO_4$

Om 35022

1990

$Nd_2CuO_{4-x}F_x$

7G169. Низкотемпературная теплоемкость  $Nd_2CuO_4$  и  
 $Nd_2CuO_{4-x}F_x$ . Low temperature specific heat of  $Nd_2CuO_4$  and  
 $Nd_2CuO_{4-x}F_x$ . Tigheza A., Kuentzler R., Pouget G., Dossmann  
Y., Dillon M./Physica. B.—1990.—165—166, № 2.—C.  
1331—1332.—Англ.; GEHCB, GEFYP, GIFK, GCBA

Изучена теплоемкость С соединений  $Nd_2CuO_4$  и  
 $Nd_2CuO_{4-x}F_x$ ,  $x=0.3, 0.4, 0.5$ . Образцы с  $x=0.3, 0.4, 0.5$   
получены керамич. способом из  $CuO$ ,  $Nd_2O_3$  и  $NdF_3$ , при  $900\text{ }^{\circ}\text{C}$   
14 ч в Pt-тигле с последующим отжигом при  $890\text{ }^{\circ}\text{C}$  14 ч.  
 $Nd_2O_3$  предварительно прокаливался при  $200\text{ }^{\circ}\text{C}$ .  $Nd_2CuO_4$   
получался осаждением оксалатов и синтезом при  $600\text{ }^{\circ}\text{C}$ .  
Образцы имели малое количество примесей и были тетраго-

( $C_p$ , 1.5—40K)

cb.(cb). 1991, № 7

нальными. Теплоемкость измерялась квазидиабатич. методом в интервале т-р 1,5—40 К. Образцы с F были сверхпроводящими и имели  $T_c \approx 20$  К. На С(Т) имеется минимум, положение которого зависит от режима и способа получения образцов; для  $Nd_2CuO_4$  на С(Т) также имеется максимум при низкой т-ре. Величина  $\gamma(0)$  для образцов с  $x=0$  равна 50 и 225 мДж/моль·К<sup>2</sup>, т-ра Дебая  $\Theta_D=300$  и 410 К; для образцов с  $x=0,3; 0,4; 0,5$   $\gamma(0)=40, 30, 42$  мДж/моль·К<sup>2</sup>,  $\Theta_D=342, 262$  и 325 К соответственно. Полагают, что сверхпроводимость в этих соединениях БКШ-типа и возникает за счет превращения  $Cu^{2+}$  в  $Cu^+$  при легировании F.

Я. М.

Nd<sub>2</sub>Ge<sub>3</sub>

(RM 34869)

1990

Vrtis M. L.,  
Jorgensen J. D., et al.,  
J. Solid State Chem.,  
1990, 84, N1, 93-101.



*Nd<sub>2</sub>O<sub>3</sub> - CuO*

1990

23 Б3063. Термодинамическое описание бинарной системы Nd<sub>2</sub>O<sub>3</sub>—CuO. Thermodynamic treatment of the Nd<sub>2</sub>O<sub>3</sub>—CuO binary system / Xiaolong C., Jingkui L., Sishen X. // J. Less—Common Metals.— 1990.— 159, № 1—2.— С. 147—152.— Англ.

Термодинамическое описание бинарной системы Nd<sub>2</sub>O<sub>3</sub>—CuO выполнено с использованием модели регулярного р-ра. Параметры взаимодействия вычислены с привлечением эксперим. термодинамич. данных. Расчеты проводились с учетом нестабильности CuO выше 1025° С и образованием Cu<sub>2</sub>O. Т-ры границ фазовых полей согласуются с эксперим. данными до ±10° С.

Л. А. Резницкий

*X. 1990, N 23*

*Nd<sub>2</sub>CuO<sub>4</sub>*

1990

18 Б3143. Термодинамическое исследование бинарной системы Nd<sub>2</sub>O<sub>3</sub>—CuO. Thermodynamic treatment of the Nd<sub>2</sub>O<sub>3</sub>—CuO binary system / Xiaolong Chen, Jingkui Liang, Sishen Xie, Zhiyu Qiao // J. Less—Common Metals.— 1990.— 159.— С. 147—152.— Англ.

На основе модели регулярных р-ров рассчитана фазовая диаграмма системы Nd<sub>2</sub>O<sub>3</sub> (I)—CuO (II). Расчетные и эксперим. данные удовлетворительно согласуются, кроме области, богатой I. В системе образуются две эвтектики при 0,43 и 0,67 мольной доли II с т. пл. 1257 и 1010° С соотв., а также соединение Nd<sub>2</sub>CuO<sub>4</sub> (III). По расчетам, т. пл. эвтектики между I и III (по лит. данным 1257° С) выше 1315° С. Расхождение обусловлено, по-видимому, разл. II при т-ре 1025° С, т. е. несколько выше т-ры первой эвтектики (т. пл. 1010° С) и ниже т. пл. второй эвтектики. Л. Г. Титов

(Jm)

X.1990, N/18

*Nd<sub>2</sub>CuO<sub>4</sub>*

1991

115: 6187<sup>tg</sup> A study of the mass transport properties of the solid-state copper(I) ion conductor copper zirconium phosphorus oxide ( $\text{CuZr}_2\text{P}_2\text{O}_{12}$ ) and its limitations in the determination of the thermodynamic stability of neodymium copper oxide ( $\text{Nd}_2\text{CuO}_4$ ). Warner, T. E.; Edwards, P. P.; Fray, D. J. (Interdiscip. Res. Cent. Supercond., Univ. Cambridge, Cambridge, UK CB3 011E). Mater. Sci. Eng., B 1991, B8(3), 219-24 (Eng). The prepn. of  $\text{CuZr}_2\text{P}_2\text{O}_{12}$  from  $\text{NH}_4\text{H}_2\text{PO}_4$ ,  $\text{Cu}_2\text{O}$ , and  $\text{ZrO}_2$  is described. The electrochem. behavior of the solid state cell Pt/ $\text{CuZr}_2\text{P}_2\text{O}_{12}$ /Pt was studied by impedance spectroscopy. For the first time copper was titrated through the solid state cell Cu/ $\text{CuZr}_2\text{P}_2\text{O}_{12}$ /As at 1073 K, demonstrating that  $\text{CuZr}_2\text{P}_2\text{O}_{12}$  is a copper(I) ion conductor.  $\text{CuZr}_2\text{P}_2\text{O}_{12}$  has a copper ion cond. of 3.4 S m<sup>-1</sup> at 1073 K, and an activation energy of 0.42 eV for the temp. range 673-1273 K.  $\text{CuZr}_2\text{P}_2\text{O}_{12}$  is unstable with respect to oxidn., therefore electrochem. measurements are restricted to nonoxidizing environments which limit its practical use. An attempt was made, given these constraints, to determine the free energy of formation of  $\text{Nd}_2\text{CuO}_4$ .

(A/H)

c.A.1991, 115, N6

*Nd<sub>2</sub>CuO<sub>4</sub>*

*1991*

№ 9 Б3091. АФМР и ориентационные фазовые переходы в Nd<sub>2</sub>CuO<sub>4</sub> / Звягин А. И., Степанова А. А., Кобец М. И., Пащенко В. А., Хацько Е. Н., Черный А. С. // 19 Всес. конф. по физ. магнит. явлений, Ташкент, 24—27 сент., 1991: Тез. докл. Ч. 2.— Ташкент, 1991.— С. 11.— Рус.

(Hz)

Проведены резонансные и магнитные измерения монокристаллов Nd<sub>2</sub>CuO<sub>4</sub> в широком диапазоне частот (10—150 ГГц), магнитных полей (до 8 Т), т-р (0,7—4,2 К) и углов между направлением магнитного поля и кристаллографич. осями.

*X.1992, № 9*

*Nd<sub>2</sub>CuO<sub>4</sub>*

*1992*

18 Б3087. Антиферромагнитная фазовая стабильность, обусловленная межплоскостным взаимодействием  $Nd^{3+}$  —  $Cu^{2+}$  в  $Nd_2CuO_4$ . Antiferromagnetic phase stability by  $Nd^{3+}$  —  $Cu^{2+}$  interplanar coupling in  $Nd_2CuO_4$  :[Pap.] Int. Conf. Neutron Scatt., Oxford, Aug. 27—30, 1991 .Pt A //Bourges Ph., Boudarene L., Petitgrand D. //Physica B .—1992 .—180 — 181 , PT A .—C. 128—130 .—Англ.

Предложена модель, описывающая три последоват. антиферромагнитных фазовых перехода в  $Nd_2CuO_4$  при  $T_N = 260$ ,  $T_c = 80$  и при 30 К. Поскольку тетрагон. структура соед. приводит к полной фрустрации межплоскостных вз-вий, то возникает вопрос о том, как взаимодействуют коррелиров. антиферромагнитные фазы для того, чтобы дать трехмерный дальний порядок. В модели использован феноменологич. подход, прини- мающий во внимание ненулевой момент атомов  $Nd^{3+}$ . Показано, что эти переходы обусловлены высококоррелир. плоскостями  $CuO_2$ , индуцирующими последоват. упорядочение местоположений  $Nd^{3+}$ .

В. А. Ступников

*X, 1993, N 18*

$Nd_2CuO_4$

1992

117: 179376m Calorimetric measurement on standard enthalpies of formation of lanthanide cerium copper oxides,  $Ln_{1.85}Ce_{0.15}CuO_4$  ( $Ln =$  neodymium, samarium, europium, and gadolinium) and lanthanide copper oxides,  $Ln_2CuO_4$ . Idemoto, Yasushi; Shizuka, Kenji; Fueki, Kazuo (Fac. Sci. Technol., Sci. Univ. Tokyo, Noda, Japan 278). *Physica C (Amsterdam)* 1992, 199(1-2), 184-90 (Eng). The std. heats of formation of  $Ln_{1.85}Ce_{0.15}CuO_4$  and  $Ln_2CuO_4$  ( $Ln =$  Nd, Sm, Eu, Gd) were detd. by a soln. calorimetric method. The heats of reaction to produce  $Ln_{1.85}Ce_{0.15}CuO_4$  from simple oxides,  $Ln_2O_3$ , and CuO, were calcd.

( $\Delta_f H$ )

$Sm_2CuO_4$ ,  $Eu_2CuO_4$ ,  $Gd_2CuO_4$

(73)

C.A. 1992, 117, N 18

$\text{Nd}_2\text{CuO}_4$

1992

Idemoto Yasushi,

Oyagi Isao, et al.

(1+H) *Physica C* (Amsterdam)  
1992; 195(3-4), 269-76.

(cer.  $\text{Nd}_{1.85}\text{Cu}_{0.15}\text{O}_4$ ; T)

$\text{NdInCu}_2$  1992

Sato K., Tsikawa T.,

Mori K.

( $T_{\text{mag.}}$ ,  
 $T_{\text{tz}}$ )

J. Magn. Magn. Mater.

1992, 104-107, 1435-6.

(crys.  $\text{LaInCu}_2$ ; I)

NdCu<sub>2</sub>

1992

22 Б3152. Магнитные фазовые переходы в NdCu<sub>2</sub>.  
Magnetic phase transitions in NdCu<sub>2</sub> /Svoboda P., Divis M.,  
Andreev A. V., Baranov N. V., Bartashevich M. I., Mar-  
kin P. E. //J. Magn. and Magn. Mater. .—1992 .—104—  
107 ,№ 2 .—С. 1329—1330 .—Англ.

По результатам измерений намагниченности (с по-  
мощью вибромагнитометра в интервале т-р 2—300 К  
вдоль трех кристаллографич. осей в полях до 5 Т) и  
магнитосопротивления (в магн. поле напряженностью  
до 7 Т, приложенном параллельно оси *b* с электрич. то-  
ком — вдоль оси *c*, в интервале т-р 2—10 К) монокрист.  
образца ( $2 \times 2 \times 1,5$  мм<sup>3</sup>) построена магн. Н—Т-фазовая  
диаграмма антиферромагн. соединения NdCu<sub>2</sub>, имею-  
щего ромбич. структуру. В нулевом магн. поле обнаруже-  
ны четыре антиферромагн. фазы с т-рами переходов  
6,3; 5,2; 4,1 и 3,2 К соотв. Во внеш. магн. поле антифер-  
ромагнитная структура соединения становится неустой-

Tt<sub>2</sub>



Х. 1994, № 2

чивой и оно претерпевает метамагнитное превращение.  
По мере увеличения поля магн. стр-ва соединения услож-  
няется. Изотермы намагниченности  $NdCu_2$  в парамагн.  
области сразу выше т-ры Нееля  $T=6,3$  К описаны с ис-  
пользованием гамильтониана с эффективным спином  
 $S=1/2$ . Все полученные результаты обсуждают в рамках  
теории кристаллич. поля.

А. Савченко

Cu-Nd

1992

Wang J.,

metastable  
aluminide

CALPHAD; Comput. Comp-  
ling Phase Diagrams  
Thermochim. 1992, 16(1),  
87-92.

(all Cu-Pr) [5]

$Nd_2CuO_4$

1993

652030. Исследование  $Nd_2CuO_4$  дифракцией рентгеновских лучей. X-ray diffraction study of  $Nd_2CuO_4$  /Makarova I. P., Molchanov V. N., Tamazyan, Simonov V. I. //16th Congr. Int. Union Crystallogr., Beijing, 21—29 Aug., 1993. IUCR XVI: Collect. Abstr. —Beijing ,1993  
—PS-10.01.10.—Англ.

X.1994, n6

*Nd<sub>2</sub>CuO<sub>4</sub>*

*1993*

4 Б2048. Уточнение атомной структуры монокристаллов Nd<sub>2</sub>CuO<sub>4</sub> /Макарова И. П., Молчанов В. Н., Тамазян Р. А., Симонов Б. И., Гамаюнов К. В., Иванов А. Л., Осико В. В. //Кристаллография .—1993 .—4 .—С. 24—32 .—Рус.

По рентгеновским дифракц. данным ( $\text{AgK}\alpha$  — излучение, 5015 измеренных, 484 неэквивалентных  $|F_{\bar{h}}|$ ) уточнена атомная структура кристаллов  $\text{Nd}_{1,890}\text{CuO}_{3,85}$  (пр. гр.  $1/4$   $\text{mmm}$   $a=3,9488(3)$ ,  $c=12,1869(9)$  Å,  $R_w=0,82\%$ ,  $R=0,70\%$ ). Установлено нарушение стехиометрии в хим. составе кристаллов и отклонение в тепловых колебаниях атомов Nd от гармонич. закона. Вычислено и проанализировано распределение деформац. электронной плотности в монокристалле. Зафиксировано характерное для атомов  $\text{Cu}^{2+}$ , координированных атомами  $\text{O}_{(1)}$  по квадрату, наличие максимумов электронной плотности, достраивающих Cu-полиэдр до октаэдра. Вблизи атома Nd на карте деформац. электронной плотности зафиксирован минимум  $-1,2 \text{ з}/\text{Å}^3$ , который м. б. отнесен за счет деформации одной из внутренних электронных оболочек этого атома.

*X. 1994, № 4*

$Nd_2D_3$ -CuO

1993

Takegoshi E, Hirasawa Y, et al;

Netsu Bussei 1993, 7(2), 827

( $\beta$ )

(all.  $Pr_2D_3$ - $WO_3$ ; I)

Cu-Nd

1993

( $\Delta_{mix}H$ )

Хигаси  
Макава

C.A. 1994, 121, N10

Thermodynamic study of Cu-Nd alloys by mass spectrometry. Ueda, Yukitomi; Maekawa, Kazuyoshi; Oishi, Taro, Katsutoshi (Fac. Eng., Kyoto Univ., Kyoto, Japan) *Jpn. Mass Spectrom. Soc. Jpn.* 1993, 41(6), 351-7 (Eng). Partial molar enthalpies and partial molar heats of mixing were detd. of a liq. Cu-Nd system at 1,600 K by using a Knudsen cell and a quadrupole mass spectrometer. The ion intensity ratio for the alloy components was measured for the system and the thermodn. values were calcd. by the modified Gibbs-Duhem equation. The liq. Cu-Nd system exhibits neg. deviations from ideal behavior. The partial and total molar heats of mixing are compared with values in the

*Nd<sub>2</sub>CuO<sub>4</sub>*

*1994*

4 Б2112. Резонансные эффекты в рассеянии рентгеновских лучей совершенными кристаллами  $\text{Nd}_2\text{CuO}_4$  при ультразуковом возбуждении /Квардаков В. В., Соменков В. А., Бессарабский А. Ю. //Кристаллография .— 1994 .— 39 ,№ 5 .— С. 879—883 .— Рус.

На примере совершенных кристаллов  $\text{Nd}_2\text{CuO}_4$  продемонстрирована возможность использования дифракции рентгеновских лучей для изучения ультразвуковых колебаний в кристаллах ВТСП и родственных систем: определения амплитуды, поляризации, скорости звука, визуализации стоячих акустич. волн. Показано, что чувствительность дифракц. метода по отношению к амплитуде возбуждаемых волн резонансно возрастает при приближении длины акустич. волны к длине экстинкции.

*X. 1995, N 4*

*Nd<sub>2</sub>CuO<sub>4</sub>*

*1994*

19 Б2144. Исследование магнитоэлектрической активности антиферромагнитного Nd<sub>2</sub>CuO<sub>4</sub> /Смирнов А. И., Хлюстиков И. Н. //Ж. эксперим. и теор. физ. —1994.—105 ,№ 4 .—С. 1040—1052 .—Рус.

*T<sub>t2</sub>*

Исследованы высокочастотные и статич. магнитоэлектрические св-ва Nd<sub>2</sub>CuO<sub>4</sub>. Обнаружено влияние электрич. поля на СВЧ магнитную восприимчивость антиферромагнитного Nd<sub>2</sub>CuO<sub>4</sub> и сдвиг антиферромагнитного резонанса в электрич. поле. Первый эффект носит существенно динамич. характер, т. е. влияние электрич. поля на статич. восприимчивость значительно меньше, чем в СВЧ диапазоне. Линейный магнитоэлектрич. эффект, возможность к-рого обусловлена предполагаемыми структурнымиискажениями тетраг. решетки, не обнаружен.

*X.1994, N19.*

Nd<sub>2</sub>CuO<sub>4</sub>

1995

F: Nd<sub>2</sub>CuO<sub>4</sub>

P: 1

11Б2337. О структурных искажениях в Nd[2]CuO[4] / Пашкевич Ю. Г.,  
Пишко В. В., Цапенко В. В., Еременко А. В. // Физ. низ. температур. -  
1995. 21, N 7. - С. 757-762. - Рус.; рез. укр., англ.

Обнаружено однофононное инфракрасное поглощение в Nd[2]CuO[4],  
связанное с магнитным упорядочением, сопровождаемым  
мультиплексиацией кристаллографической ячейки. Показано, что  
магнитное упорядочение типа "плоский крест" приводит к спин-  
зависимому поглощению фононами, соответствующими границе зоны  
Бриллюэна парамагнитной фазы, и оказывает влияние на фоновые  
спектры, аналогичное влиянию структурно фазового перехода.  
Рассмотрены электродипольные механизмы такого поглощения: из M-  
точки границы зоны Бриллюэна, индуцированный магнитным



X. 1996, N 11

упорядочением, и их X-точек, индуцированный приложенным внешним полем. Измерения, проведенные в магнитном поле, превышающем поле спин-переориентационного фазового перехода, позволили обнаружить проявление однофононного поглощения из X-точки зоны Бриллюэна, подавление однофононного поглощения из M-точки и показали отсутствие структурных искажений в Nd<sub>2</sub>CuO<sub>4</sub> при температурах выше 150К.. Кристаллическая структура.

$Nd_2CuO_4$

1996

Xing Xianran, Qiao Zhiyu,  
et al.

(1G<sub>f</sub>) Zhongguo Xite Xuebao  
1996, 14(1), 23-27.

(c.c.s.  $La_2CuO_4$ ; ?)

Ce-Nd

1996

Zhuang W. et al.,

neptnoy-  
Co-fa      g. phase Equilib.  
1991, 17 (6), 508-21.

(all. Ce-Ce; I)

1997

F: Nd<sub>3</sub>Cu<sub>4</sub>P<sub>4</sub>O<sub>2</sub>

P: 1

22Б294. Ln[3]Cu[4]P[4]O[2]: Новый структурный тип оксида лантаноида, переходного элемента, пниктида. Ln[3]Cu[4]P[4]O[2]: A new lanthanide transition metal pnictide oxide structure type / Cava R. J., Zandberger H. W., Krajevski J. J., Siegrist T., Hwang H. Y., Batlogg B. // J. Solid State Chem. - 1997. - 129, 2. - С. 250-256. - Англ.

Взаимодействием Ln, P красного, Cu<sub>2</sub>O получены Ln[3]Cu[4]P[4]O[2] (Ln=La, Ce, Nd) (I, II, III). Проведено электронномикроскопическое высокого разрешения исследование I-III, РСТА, а также изучена зависимость магнитной восприимчивости, сопротивления от температуры при 4-300 К. Параметры тетрагональной решетки I-III: a 4,033, 3,985, 3,964

A, с 26,765, 26,573, 26,551A. ф. гр. I4/mmm, Z 2; I  
'ро' (выч.) 6,352, V 435,3A{3} 149 отражений, R  
0,057. Структура состоит из слоев Ln[2]O[2] (модуль  
Pb[2]O[2]) чередующихся со слоями из тетраэдров  
Cu[2]P[2]. Рассматриваются гомологические серии и  
проведено сравнение I с типами ThCr[2]Si[2] и  
BiCuOSe. Сопротивление I указывает на металлическую  
проводимость. Сверхпроводимость выше 2 К не  
наблюдается. Выше 4,2 К магнитное упорядочение не  
установлено. Для Ba[2]Mn[3]P[2]O[2], I,  
U[2]Cu[2]As[3]O, установлено 5 элементарных модулей  
A, A[2]O[2], A[2]X[2] и T[2]X[2], TO[2], где A -  
большой ион, Т - переходный металл, X - пниктоген,  
O - кислород. Проведен такой же анализ для ThCuPO,  
I, Th[3]Ni[3]P[3]O, LaNi[2]P[2].

F: NdCu2O<sub>4</sub>

P: 1

19Б2261. Кристаллизация LnCu[2]O[4] (Ln=La, Nd, Sm, Eu, Dy, Ho, Y, Er) из расплава гидроксидов: Синтез и структура. Crystallization of LnCu[2]O[4] (Ln=La, Nd, Sm, Eu, Gd, Dy, Ho, Y, Er) from hydroxide melts: synthesis and structure / Luce J. L., Stacy A. M. // Chem. Mater. - 1997. - 9, 7. - С. 1508-1515. - Англ.

Место хранения ГПНТБ России Из расплавов NaOH/КОН при 350-400{°}С синтезированы купраты LnCu[2]O[4] (Ln=La, Nd, Sm, Eu, Gd, Dy, Ho, Y, Er) ( I), определено влияние условий эксперимента (относительные количества NaOH и KOH, количества реагентов, температура, время введения реагентов) на выход, чистоту и кристалличность I. В целом, образованию I благоприятствуют сухой сильно

окислительный расплав с большими количествами растворенных реагентов. Полнопрофильным ритвельдовским анализом порошковых рентгеновских данных определены монокл. структуры всех I (ф. гр. 12/a). Атомы Ln локализованы в искаженных квадратных антипризмах (4 атома O(1) и 4 атома O(2)). Каждый полиэдр  $\text{LnO}[8]$  соченен ребрами с тремя другими  $\text{LnO}[8]$  с образованием трехмерного расположения. Уменьшение длин связей Ln-O в I коррелирует с уменьшением радиуса ионов  $\text{Ln}^{3+}$  и объемов элементарных ячеек. Каждый атом Cu находится в искаженной плоско-квадратной геометрии (2 атома O(1) и 2 атома O(2)). Средние расстояния Cu-O не сильно изменяются с размером ионов  $\text{Ln}^{3+}$ .

1997

F: Nd<sub>3</sub>Cu<sub>205</sub>

P: 1

20Б239. Определение структуры (Sr,Nd)[3]Cu[2]O[5]  
методом электронной микроскопии высокого  
разрешения. A structure determination for  
(Sr,Nd)[3]Cu[2]O[5] by HREM : Pap. 14th Int. Congr.  
X-Ray Opt. and Microanal., Guangzhou, Aug. 29 -  
Sept. 2, 1995: ICSOM XIV / Peng Y., Li F., Yao Y.,  
Yang Ye // J. Trace and Microprobe Techn. - 1997. -  
15, 4. - С. 573-577. - Англ.

Место хранения ВИНИТИ Соединение состава

$\text{Sr}[0,86]\text{Nd}[0,14]\text{CuO}[2]$  получено после отжига при  $650\text{ }^{\circ}\text{C}$ . Исследование зависимости сопротивления от температуры показало отсутствие сверхпроводимости. Проведено электронно-микроскопическое изучение высокого разрешения. Параметры С-центрированной ромбической решетки  $(\text{Sr},\text{Nd})[3]\text{Cu}[2]\text{O}[5]$  (I): а 3,94, b 19,5, c 3,40 Å. Фаза I образует гибрид с бесконечнослойной сверхпроводящей фазой  $(\text{Sr},\text{Nd})[3]\text{CuO}[2]$ .

Nel Sandy

1998

Fisher R.A., Wright D.A.  
et al.,

(C) J. Magn. Magn. Mater.  
1998, 177-181 (Pt. 2);  
787-788

(all.  $\delta\text{a Cu}_2\text{O}_4$ ;  $\bullet$  I)

NdCu<sub>2</sub>

1998

ELECTRONS.

128: 265062q Specific heat and phase diagram of NdCu<sub>2</sub> in magnetic field. Takayanagi, Shigeru; Sugawara, Hitoshi; Svoboda, Pavel; Settai, Rikio; Onuki, Yoshichika (Physics Department, Hokkaido University of Education, Sapporo, Japan 002). *J. Phys. Soc. Jpn.* 1998, 67(2), 594-598 (Eng). Physical Society of Japan. The authors have investigated the sp. heat of NdCu<sub>2</sub> at temps. between 0.6 and 10 K in magnetic fields up to 6 T, applied along the three crystal axes of the orthorhombic structure. A magnetic phase diagram has detd., in which more than seven phases have been identified for the field applied along the b-axis.

(Cp)

C.A.1998, 128, N21

2004

F: Nd<sub>2</sub>CuO<sub>4+y</sub> P: 1 Nd<sub>2</sub>CuO<sub>4+y</sub> (K<sub>p</sub>)

02.15-19БЗ.86. Исследование низкокислородной границы области гомогенности оксида Nd<sub>2</sub>CuO<sub>4'+-'y</sub> / Балакирев В. Ф., Дубровина И. Н., Янкин А. М., Зубков С. В. // Докл. РАН. - 2001. - 381, N 6. - С. 792-794. - Рус.

Равновесное давление  $p(O_2)$  при диссоциации Nd<sub>2</sub>CuO<sub>4'+-'y</sub> (I) в интервале 560-830 рС определены методом э. д. с. с твердым электролитом. Равновесие устанавливается в течение 5-40 ч. Продукты диссоциации исследованы РФА. Низкокислородная граница области гомогенности I определялась рентгенографическим методом в атмосфере Не. Установлено резкое изменение осевого отношения параметров элементарной ячейки  $c/a$  при 550 рС, связано потерей апикальных атомов О. График  $p(O_2)$ -T отражает внутриструктурные процессы в I, связанные с неэквивалентностью атомов кислорода в полиздрах CuO<sub>n</sub>. Библ. 8.

Nd<sub>2</sub>Si<sub>3</sub>Y

[Om. 41525]

2001

NdAl<sub>2</sub>

Балакирев В.Р., Дубровина  
Н.Н. и др.,

(X<sub>1</sub>, P<sub>02</sub>) Докт. диссертации Ильин,  
2001, № 381, № 792-794.

*NdBa<sub>2</sub>Cu<sub>3</sub>O<sub>y</sub>*

*2002*

*Cp*  
*ΔH*

F: Nd-Ba-Cu-O

P: 1

*NdBa<sub>2</sub>Cu<sub>3</sub>O<sub>y</sub> (C<sub>p</sub>, ΔH)*

03.12-19Б3.74. Термодинамические свойства соединений в системах Y(Nd)-BaМацкевич Н. И., Трофименко Е. А., Стенин Ю. Г., Прохорова Е. Ю., Третьяко Д. (198904, г. Санкт-Петербург, Старый Петергоф, Университетский просп., 14 Международная конференция по химической термодинамике, Санкт-Петербург июля, 2002 : Тезисы докладов. - СПб, 2002. - С. 167. - Рус.

Изучены термодинамические свойства соединений и реакций в системах Y(Nd)-Ba-Cu-O для понимания пик-эффекта с позиций термодинамики. Методом калориметрии растворения изучена зависимость энタルпий образования тверды растворов RBa[2]Cu[3]O[y] от кислорода, а также изменение энталпий образования твердых растворов

содержания  $Nd[1+x]Ba[2-x]Cu[3]O[y]$  от содер неодима. Рассчитаны термодинамические характеристики реакций разложения и фазы  $Nd[2]CuO[4]$ ,  $BaCuO[2]$  и другие. Теплоемкости купратов исследованы с использованием методов низкотемпературной адиабатической калориметрии и калориметрии смешения. Полученные энтропии и температурные зависимости теплоемкостей использованы для расчета свободных энергий Гиббса в система Y(Nd)-Ba-Cu-O. Обнаружены аномалии теплоемкостей в интервалах температур 300-900 К.